

地中にあら管状構造物の地震時ひずみ振幅

京都大学防災研究所 正員 土岐憲三
京都大学防災研究所 正員 ○高田至郎

1. まえがき

地中に埋設された管状構造物の地震時挙動は埋設地点の地盤運動でほぼ近似されるか、構造物のもつ剛性によって地盤運動を入力と見なした場合には幾分かの入力損失があると考えねばならない。本研究では地盤と構造物の相互作用を考慮した振動系の非定常応答を弾性振動論によって解析し、構造物のひずみ振幅について考察を加えた。また、地盤波形そのものの積分によって地盤と構造物の運動が全く等しいと見なした場合のひずみ算定法について検討し、両解析法による結果より入力損失量について論じた。

2. フーリエ変換手法による地震応答解析

弾性体地盤内に円断面の中空管状構造物が埋設されており、構造物から十分離れた場所での加速度波形子 (\hat{u}) が構造物の長手方向に伝播する際の応答を解析する。長手方向での運動の位相がもっとも大きくなる場合を想定してかかる入力を設定し、その伝播速度は地盤内実体波との比率で与えている。定常正弦波入力の場合、軸ひずみ ϵ_A 、曲げひずみ ϵ_B は次のようく与えられる。

$$\frac{\epsilon_A}{UgW^2} = \frac{i}{WCA} \left\{ 1 + \frac{1}{\frac{(C_0)^2}{(C)} - 1 + \frac{\rho}{\gamma} \frac{f_d}{1 - (b/a)^2}} \right\} \exp[ik(x - Ct)], \quad \frac{\epsilon_B}{UgW^2} = \frac{a}{(C_0)^2} \left\{ 1 + \frac{1}{\frac{EI(k_0)^2}{8\pi(a+b)W^4} - 1 + \frac{\rho}{\gamma} \frac{K_d}{1 - (b/a)^2}} \right\} \exp[ik(x - Ct)] \quad (1)$$

ここに W , Ug , C , K_d は入射波動の円振動数、変位振幅、伝播速度、波数を表わし、右肩添字 A , B は軸、曲げひずみを生ぜしめる波動の種類に対応している。また、 a , b , γ , C_0 , EI は構造物の外径、内径、密度、圧縮波速度、曲げ剛性を表わしている。 f_d , K_d は構造物が地盤運動に対して相対運動を起さうとするごとにに対する地盤からの拘束力を意味し、入射波動の波長の増大とともに絶対値が次曲線的に増大する複素数値である。式(1)の左辺の UgW^2 は地盤の運動加速度を表わしており、 f_d , K_d が複素数値であることから、式(1)の右辺は位相特性をも考慮した単位の入力加速度に対するひずみの周波数伝達関数と見なせる。したがって任意の地震波形入力に対する応答を求めるには、入力のフーリエ変換と式(1)の伝達関数を乗じて後、逆フーリエ変換を施せばよいことが知られる。Fig. 1 には式(1)の右辺を ϵ_A , ϵ_B と定め、その振幅に関する周波数伝達関数を示した。軸ひずみは振動数の増大とともに減少する傾向にあり、曲げひずみは一定値を示す。入力加速度が一定で計算した結果であることを考え合わせれば、軸、曲げひずみはそれを地盤の運動速度、加速度に比例的な量であることが知られる。また、Fig. 2 は入力に用いた地震加速度波形とそのときの軸、曲げひずみの時間領域にお

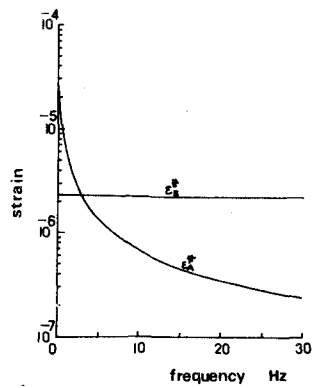


Fig. 1 Frequency response of strains

ける回答を示したものであり、逆フーリエ変換手法を用いて計算した結果である。軸ひずみ波形は入力の短周期成分が滤波されており、曲げひずみ波形は入力波形に近似した特性をもつ。実際に、入力波形の積分によって得られた速度波形は軸ひずみ波形とさわめて類似していることが知られた。

3. 地震波形によるひずみ算定

地盤と構造物が全く同様な動きをするものと仮定すれば、軸ひずみは V/A 、曲げひずみは $A/(V^2)$ で計算される。V, A は地盤の速度、加速度値である。Z. による方法と比較すれば、その差異が構造物の剛性による入力損失量であると考えられる。

Fig. 3, 4 には 6 種類の地震波を用いて、両手法による最大ひずみ振幅の計算結果を示した。横軸には用いた加速度地震波の卓越周期をとってあるが、同一最大加速度入力の場合、卓越周期の大きいものはほど軸ひずみは増加する傾向にある。また、いずれの入力でもフーリエ変換手法によるひずみ振幅の方が波形積分による結果よりも 1~2 倍程度小さくなっている。この計算例では上記の程度の入力損失と考えられる。

一方、入力加速度とその周期が既知の場合、速度値を知り得れば、

軸ひずみ推定には便宜である。そこで多くの加速度地震波形を積分した結果より最大加速度、速度、卓越周期の関係を Fig. 5, 6 に示した。Fig. 5 は卓越周期の 3 つの分類に対して加速度、速度の関係を、Fig. 6 は加速度一定とした場合の速度と周期の関係を示してある。

参考文献 1) 後藤尚男・土岐義三・高田正郎: 地盤吸収の動特性について、地盤工学研究発表会講演概要, '72.7, pp. 103~106.

2) 小林昭雄: 墓設管の地震時ひずみに関する研究、東京大学卒業論文, '74.3.

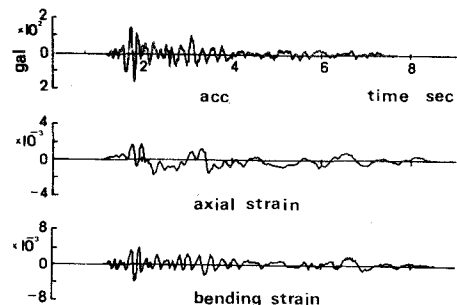


Fig. 2 Earthquake response of strains

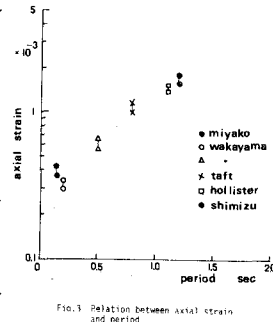


Fig. 3 Relation between axial strain and period

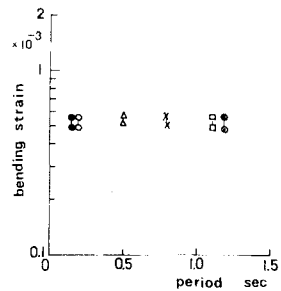


Fig. 4 Relation between bending strain and period

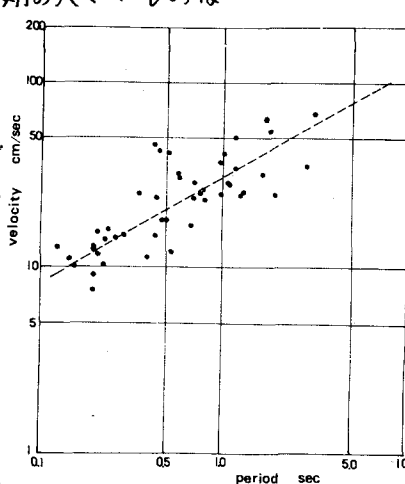


Fig. 5 Relation between velocity and period

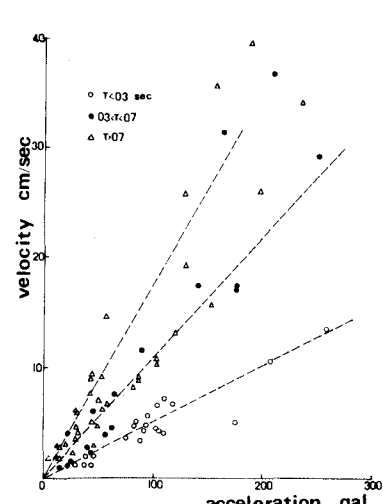


Fig. 6 Relation between acceleration and velocity